

## ФОРМИРОВАНИЕ И МОДЕЛИРОВАНИЕ СТОХАСТИЧЕСКИХ ПРОЦЕССОВ С ЗАДАННЫМИ СВОЙСТВАМИ ТРАЕКТОРИЙ

А.В. ОВСЯННИКОВ, В.М. КОЗЕЛ

*Белорусский государственный университет  
пр. Независимости, 4, Минск, 220030, Беларусь*

*Белорусский государственный университет информатики и радиоэлектроники  
П. Бровки, 6, Минск, 220013, Беларусь*

Поступила в редакцию 20 июня 2016

Приведены необходимые теоретические сведения для формирования и моделирования стохастических процессов с заданными свойствами траекторий. Эти свойства включают: прохождение траектории процесса через заданные контрольные точки, формирование статистики процесса с учетом заданной стационарной плотности вероятности, определение параметров процесса исходя из заданной средней длины траектории.

**Ключевые слова:** стохастический процесс, траектория, формирование, заданные свойства, стационарная плотность вероятности.

### Введение

Постоянный интерес к тематике формирования и моделирования стохастических процессов (СП) с заданными характеристиками обусловлен прикладной направленностью работ в этом направлении. В частности, теоретические результаты могут использоваться при разработке алгоритмов функционирования генераторов стохастичности, генерировании помех при тестировании каналов связи, моделировании нестационарных СП систем случайной структуры [1], разработке алгоритмов управления подвижными объектами и моделировании их траекторий и т.д.

В непрерывной форме формирование и моделирование СП осуществляется на основе стохастических дифференциальных уравнений (СДУ) первого порядка [2–4]. Это позволяет исследовать СП  $\xi_t = \xi(t)$  на интервале времени  $t \in [0, T]$  с заданными корреляционными функциями (спектральными плотностями) и стационарными плотностями вероятностей  $f(\xi)$ . Для скалярных и векторных марковских СП снос  $a_t(\xi_t) = a(t, \xi_t)$  и диффузия  $b_t(\xi_t) = b(t, \xi_t)$  полностью определяют их статистику. В свою очередь, характеристики сноса и диффузии однозначно определяют решение уравнения Фоккера-Планка-Колмогорова, т.е. нестационарную плотность  $f(t, \xi)$  СП. В случае граничных условий нулевого потока [5], независимости сноса и диффузии от времени стационарная плотность вероятности  $f(\xi)$  связана с ними обыкновенным линейным дифференциальным уравнением следующего вида  $d \ln f(\xi) / d\xi = -[2a(\xi) / b(\xi) + 0,5d \ln b(\xi) / d\xi]$ . Следовательно, задавая конкретный вид стационарной плотности  $f(\xi)$  нетрудно получить семейства функций  $a(\xi)$ ,  $b(\xi)$  и, соответственно, найти параметры СДУ [3, 6].

Значительный интерес, с практической точки зрения, представляет исследование управляемых СП [7–9]. Этот интерес обусловлен возможностью получения СП не только с заданными статистическими свойствами, но и с заданными параметрами траектории. Например, к таким параметрам можно отнести прохождение траектории СП через заданные

координаты  $\{t_j, \xi_{ij}\}, j=\overline{1,n}$  (контрольные точки или отрезки) и среднюю длину траектории СП за время  $T$ . Для решения такой задачи в статье предлагается методика формирования СП на основе управляемых СП, описываемых СДУ с заданными статистическими свойствами. Однако, в отличие от классической задачи нахождения оптимальных функций управления, в статье предполагается, что функции управления являются известными и именно они, вместе со стационарной плотностью  $f(\xi)$ , определяют заданные свойства траектории СП.

Цель работы – исследование методики формирования СП с заданными свойствами траекторий на основе СДУ с управляемыми параметрами.

### Скалярный стохастический процесс с заданными свойствами траектории

Будем рассматривать СП достаточно общего вида

$$\dot{\xi}_t + u_t a_t(\xi_t - v_t) = gn_t, \quad \xi(t_0) = \xi_0, \quad \dot{\xi}_t = d\xi_t / dt, \quad (1)$$

где  $a_t(x_t)$  – функция, такая, для которой при  $t \geq 0$  имеем  $\int_0^t a_s(x_s)^2 ds < \infty$ , причем,  $\lim_{\tau \rightarrow 0} E\tau^{-1}|\xi_t - \xi_{t-\tau}| = a_t(x_t)$  – коэффициент сноса,  $\lim_{\tau \rightarrow 0} E\tau^{-1}(\xi_t - \xi_{t-\tau})^2 = b$  – коэффициент диффузии,  $g = \text{const} > 0$ ,  $b = g^2/2$ ,  $u_t > 0$  – модулирующая функция, определяющая профиль СП, его прохождение через контрольные точки (или временные отрезки),  $v_t$  – функция, задающая значения процесса в контрольных точках  $\{t_j, \xi_{ij} = v_{ij}\}$ ,  $j = \overline{1,n}$ ,  $n_t = dw_t / dt$ ,  $w_t$  – винеровский процесс с  $Ew_t = 0$ ,  $Ew_t^2 = t$  и  $w_0 = 0$ .

Остановимся подробнее на функциях  $u_t$  и  $v_t$ . Это функции управления траекторией СП. Функция управления  $u_t$  решает задачу управления траекторией СП на достаточно длинном временном интервале. В случае  $u_t = 1$  и  $v_t = 0$  траектория СП совпадает с базовой траекторией  $\dot{\xi}_t + a_t(\xi_t) = gn_t, \xi(t_0) = \xi_0$ .

В случае большого численного значения функции  $u_t$ , т.е.  $u_t \gg 1$  или  $u_t \rightarrow \infty$  уравнение (1) превращается в нелинейное решающее правило

$$a_t(\xi_t - v_t) = 0 \quad (3)$$

и если при этом иметь ввиду условие  $a_t(0) = 0$ , то траектория СП соответствует уравнению

$$\xi_t = v_t, \quad (4)$$

то есть становится детерминированной, идентичной функции управления  $v_t$  на протяжении некоторого временного отрезка.

Проанализируем другие возможные значения функций управления. Они должны выбираться с учетом конкретной практической задачи. Кроме того, необходимо учесть тот факт, что случай  $u_t \rightarrow \infty$  в реальных задачах недостижим, поскольку всегда имеет место ограничение на управление  $u_t \leq U$ . Поэтому уравнения (3), (4) имеют предельный характер.

Определим условия и характеристики точности достижения предельных условий (3), (4). Введем в рассмотрение случайную величину  $\zeta_t = (gn_t - \dot{\xi}_t)/U$ . Математическое ожидание и дисперсия этой величины равны

$$M_\zeta = Ea_t(x_t)/U, \quad (5)$$

$$D_\zeta = [Ea_t(x_t)^2 + [Ea_t(x_t)]^2]/U^2, \quad (6)$$

где  $x_t = \xi_t - v_t$ . В формулах (5), (6) учтено, что должно выполняться  $Ea_t(\xi_t) = 0$ . Например, если  $a_t(\xi_t - v_t) = \mu(\xi_t - v_t)$ , что соответствует линейному СДУ, получим согласно (5), (6):

$$M_\zeta = \mu v_t/U, \quad D_\zeta = [D_\xi + 2v_t^2]\mu^2/U^2, \quad (7)$$

где дисперсия СП имеет известный вид [5]:  $D_\xi = \sigma^2(1 - e^{-2\mu})$ ,  $\sigma^2 = b/2\mu$ . Математическое ожидание СП определяется уравнением, зависящим от функции управления

$$dM_\xi / dt = -\mu(M_\xi - v_t), \quad M_\xi(t=0) = m_0.$$

Таким образом, все параметры, определяющие характеристики СП, в этом простейшем случае определены. Анализ полученного результата показывает, что условие (3) выполняется с точностью, определяемой уравнениями (7). Следовательно, в контрольной точке (на контрольном отрезке) необходимо обеспечение условий  $M_\xi = \mu v_t / U \ll 1$  и  $D_\xi = [D_\xi + 2v_t^2] \mu^2 / U^2 \ll 1$ , которые легко могут быть выполнены заданием соответствующих значений  $\mu, v_t, U$ . Рассмотренный пример позволяет высказать ряд соображений по поводу выбора этих параметров. Во-первых, величина  $U$  должна выбираться так, чтобы заведомо выполнялись условия  $M_\xi \rightarrow 0$  и  $D_\xi \rightarrow 0$ . Во-вторых, при наличии набора значений контрольных точек (отрезков)  $\{v_{ij}\}, j = \overline{1, n}$ , функция  $u_t$  также будет являться периодической со следующими значениями:  $u_t = 1, \{u_{ij} = U\}$ . В-третьих, если везде кроме контрольных точек (отрезков) имеет место равенство  $v_t = 0$  и лишь в моменты времени  $t_j$  функция  $v_{ij} \neq 0$ , то СП (1) будет представлять собой процесс переменной структуры с сосредоточенными переходами. В-четвертых, если установить функциональную связь между контрольными точками (отрезками)  $\{v_{ij}\}$  и достижением СП некоторых фиксированных границ  $\{\xi_{ij} = \Xi_j\}$ , то СП (1) также будет являться процессом переменной структуры с сосредоточенными переходами.

Проведем оценку длины траектории СП (1) до первой контрольной точки. Пусть задан временной интервал до нее  $[0, T]$ . Длина траектории функции  $\xi_t$  определяется известной

формулой  $S = \int_0^T \sqrt{1 + \dot{\xi}_t^2} dt$ , которую для СП заменим ее оценкой, полученной усреднением квадрата производной СП

$$S_\xi^* = \int_0^T \sqrt{1 + E\dot{\xi}_t^2} dt = \int_0^T \sqrt{1 + u_t^2 E a_t (\xi_t - v_t)^2} dt. \quad (8)$$

Например, для рассмотренного ранее примера с функцией  $a_t(\xi_t - v_t) = \mu(\xi_t - v_t)$  и  $u_t = 1$  получим  $S_\xi^* = \int_0^T \sqrt{1 + \mu^2 (D_\xi + v_t^2)} dt$ , где дисперсия  $D_\xi$  для этого случая была определена ранее. Таким образом, установлена связь между длиной траектории и временем достижения первой контрольной точки. Если  $v_t = 0$  на всем интервале  $[0, T]$ , кроме точки  $t = T$ , в которой  $v_t = v_T$  и  $D_\xi \approx \sigma^2$ , получаем простое выражение  $S_\xi^* = TV_\xi^*$ , где  $V_\xi^* = \sqrt{1 + \mu^2 \sigma^2}$  – средняя скорость на траектории.

Следовательно, в этом простейшем случае, в явном виде, можно решать различные оптимизационные задачи, связанные с определением требуемых соотношений между параметрами СП ( $b, \mu$ ), временем достижения контрольной точки  $T$  и средней длиной траектории  $S_\xi^*$ . Кроме того, если  $a_t(x_t) = a(x_t)$  и  $v_t = 0$  на всем интервале  $[0, T]$  кроме момента времени  $t = T$ , в котором  $v_t = v_T$ , то справедливо равенство [5]:

$$a(\xi) = -(b/2) d \ln f(\xi) / d\xi, \quad (9)$$

где  $f(\xi)$  – стационарная плотность вероятности СП (1). Обозначим  $I_f = E[d \ln f(\xi) / d\xi]^2$ , где величина  $I_f$  ( $0 < I_f < \infty$ ) определяет информацию Фишера относительно параметра сдвига  $\theta$  (постоянная скалярная величина) в стационарной плотности  $f(\xi - \theta)$ :  $I_f = I(\theta = 0)$ ,  $I(\theta) = E[d \ln f(\xi - \theta) / d\theta]^2$ . Тогда из (8) получим

$$S_\xi^* = T \sqrt{1 + u_t^2 I_f (b/2)^2}. \quad (10)$$

Формула (9) указывает на возможность формирования СП не только с выходом траектории в заданную контрольную точку, но и имеющим заданный вид одномерной

стационарной плотности  $f(\xi)$ , т.е. определенную статистику, характеризующую динамические свойства траектории.

На рис. 1 представлен СП (1) с выходом в заданную контрольную точку с параметрами  $a_t(x_t) = \mu(\xi_t - v_t)$ ,  $v_t = \{0 \leq t \leq T, v_t = vt; t \geq T, v_t = v_T\}$ ,  $u_t = \{0 \leq t \leq T, u_t = 1; t \geq T, u_t = u_T = U\}$ . При этих параметрах математическое ожидание СП  $M_\xi(0 \leq t \leq T) = m_0 e^{-\mu t} + vt - (v/\mu)(1 - e^{-\mu t})$ , а на контрольном отрезке при величине  $T \gg 1$ :  $M_\xi(t \geq T) = vT = v_T$ . Участок СП при  $t \geq T$  соответствует его нахождению в заданной контрольной точке  $v_T$  с точностью, определяемой уравнениями (7). Плотность  $f(\xi)$  в данном примере соответствует гауссовской  $f(\xi) = (2\pi\sigma^2)^{-1/2} \exp[-\xi^2 / 2\sigma^2]$ .

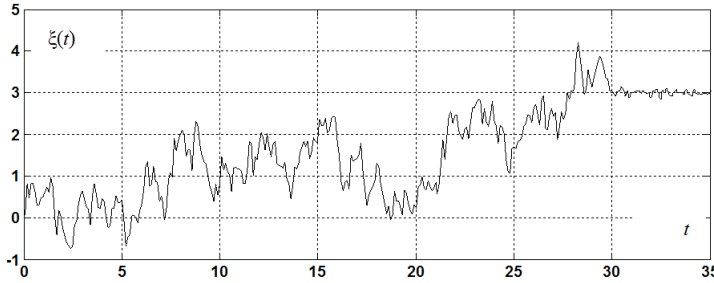


Рис. 1. Стохастический процесс с выходом в заданную контрольную точку:

$$T = 30 \text{ с}; v_T = 3; u_T = U = 50; \mu = 1, b = 2$$

Рассмотрим задачу формирования траектории СП с прохождением множества контрольных точек (отрезков). Пусть на интервале  $[0, T]$  заданы контрольные точки  $\{v_{ij}\}$ ,  $j = \overline{1, n}$  через которые должен пройти СП, заданный СДУ (1). В этом случае, остаются справедливыми полученные ранее выражения (2)–(10), которые теперь будут записываться для множества временных отрезков СП от одной контрольной точки до другой  $\Delta T_j = \{T_{j-1}, T_j\}$ ,  $j = \overline{1, n}$ ,  $T_0 = 0$ . Математическое ожидание СП будет определяться уравнением, зависящем от функций управления  $\{v_{ij}\}$  на временных отрезках  $\{T_{j-1}, T_j\}$ :  $dM_{\xi j} / dt = -a_t(M_{\xi j} - v_{ij})$ , где  $M_{\xi j}(t = T_j) = m_{j-1}$ ,  $j = \overline{1, n}$ .

Условия и характеристики точности достижения условий (3) и (4), в этом случае, аналогичны приведенным ранее выражениям (5)–(6). При наличии на траектории СП нескольких контрольных точек для вычисления оценки средней длины траектории (8) следует просуммировать все длины частичных траекторий по  $j = \overline{1, n}$ :  $S_\Sigma^* = \sum_j S_{\xi j}^*$ .

В качестве примера на рис. 2 приведен СП с  $a_t(x_t) = \mu(\xi_t - v_t)$  и прохождением траекторией контрольных точек:  $T = [30; 60; 90] \text{ с}$ ,  $v_T = [15; 3; 12]$ . Функция  $v_t$  на участках  $\Delta T_j$  имеет разные коэффициенты наклона  $v_t = \{v_j t, t \notin T_j; v_{Tj} t, t \in T_j\}$ , согласованные с контрольными точками. Функция  $u_t$  имеет периодический характер  $u_t = \{u_t = 1, t \notin T_j; u_t = U, t \in T_j\}$ . В этом примере стационарная плотность СП  $f(\xi) = (2\pi\sigma^2)^{-1/2} \exp[-\xi^2 / 2\sigma^2]$ .

На рис. 3 приведен аналогичный рис. 2 (кривая 2) СП с параметрами  $a_t(x_t) = \mu(\xi_t - v_t)$  и прохождением траекторией контрольных точек:  $T = [30; 60; 90] \text{ с}$ ,  $v_T = [15; 3; 12]$ . Однако в этом случае траектория СП имеет контрольные отрезки, на которых СП фиксирует значения  $v_t = [15; 3; 12]$ . Длительность контрольных участков  $\Delta_{Tj}$  определяется длительностью импульса функции  $u_t = \{u_t = 1, t \notin \Delta_{Tj}; u_t = U, t \in \Delta_{Tj}\}$  и функцией  $v_t = \{v_j t, t \notin \Delta_{Tj}; U, t \in \Delta_{Tj}\}$  (кривая 1, рис. 3). Следует отметить, предлагаемый подход, согласно формуле (9), позволяет не только формировать СП с заданной одномерной стационарной плотностью на всем интервале

времени  $T$ , но и, используя функцию  $a_j(\xi) = -(b/2)d \ln f_j(\xi) / d\xi$ , формировать комбинированный СП с различными одномерными плотностями  $f_j(\xi)$  на участках  $\Delta T_j$ .

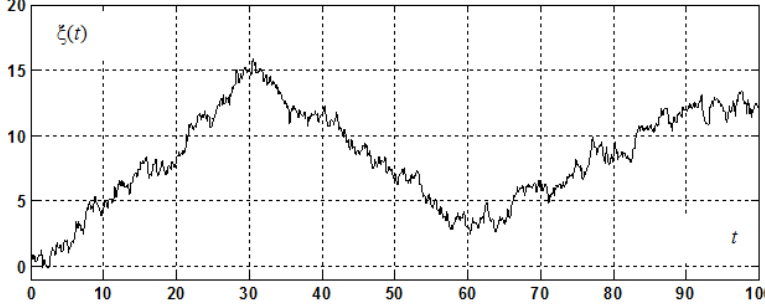


Рис. 2. Стохастический процесс с прохождением заданных контрольных точек:

$$u_T = U = 1000; \mu = 1, b = 2$$

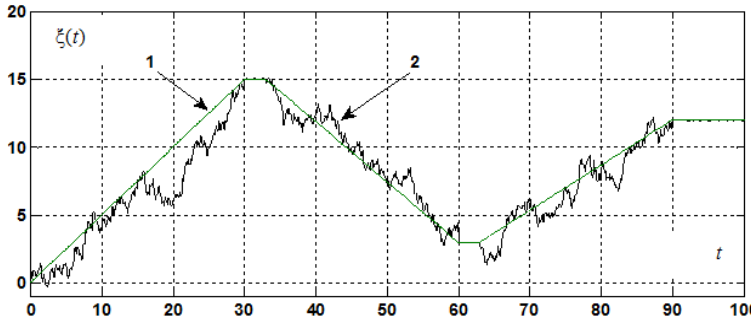


Рис. 3. Стохастический процесс с выходом в заданные контрольные точки:

$$u_T = U = 400; \mu = 0,4, b = 2$$

### Двумерный стохастический процесс с заданными свойствами траектории

Рассмотрим СП, образующийся двумя компонентами  $[x_t, y_t]$ , следующего вида

$$\begin{cases} \dot{x}_t + u_{tx} a_{tx} (x_t - v_{tx}) = g_x n_{tx}, & x(t_0) = x_0, \\ \dot{y}_t + u_{ty} a_{ty} (y_t - v_{ty}) = g_y n_{ty}, & y(t_0) = y_0, \end{cases} \quad (11)$$

где входящие в уравнения функции  $a_t$ , переменные  $n_t$  и постоянные  $g$  имеют тот же смысл, что и в (1). Кроме того, как указывалось ранее, функции  $a_t$  определяются заданными одномерными плотностями  $f(x)$ ,  $f(y)$ . Управляющие функции  $u_t$ ,  $v_t$  реализуют заданный профиль траектории СП с проходом заданных контрольных точек. Точность приближения СП к контрольной точке определяется уравнениями (5), (6).

Оценка длины траектории СП с учетом усреднения квадратов производных имеет вид

$$S^* = \int_0^T \sqrt{E\dot{x}_t^2 + E\dot{y}_t^2} dt = \int_0^T \sqrt{u_{tx}^2 E a_{tx}^2 + u_{ty}^2 E a_{ty}^2} dt. \quad (12)$$

При наличии на траектории СП нескольких контрольных точек следует просуммировать все длины траекторий по  $j = \overline{1, n}$ :  $S_\Sigma^* = \sum_j S_j^*$ .

На рис. 4 приведен пример СП заданного уравнениями (11). СП имеет следующие параметры компонент  $a_{tx} = \mu_x (x_t - v_{tx})$ ,  $a_{ty} = \mu_y (y_t - v_{ty})$ ,  $\mu_x = \mu_y$ . Контрольные точки, через которые должна проходить траектория СП  $T_j = \{40; 80; 120; 160; 200\}$  с.,  $\Delta T_j = 40$  с. Функции управления  $v_{tx}$ ,  $v_{ty}$ , определяющие профиль траектории двумерного СП, задаются участками ломаных кривых  $v_t = \{v_j t, t \notin T_j; v_{T_j}, t \in T_j\}$ , с соответствующими коэффициентами  $v_{xy} = \{0; 3/8; 0; 3/8; 0\}$ ,  $v_{yz} = \{3/8; -3/8; 3/8; 0; -3/8\}$ . Модулирующие функции  $u_{tx}$ ,  $u_{ty}$  также

задаются для каждого временного интервала  $u_{xy} = \{0, t \in [\Delta T_1, \Delta T_2, \Delta T_3, \Delta T_4]; U, t \in \Delta T_4\}$ ,  $u_{yy} = \{0, t \in [\Delta T_1, \Delta T_2, \Delta T_3, \Delta T_4]; U, t \in [\Delta T_2, \Delta T_4]\}$ . Одномерные плотности вероятности в данном примере одинаковы  $f(x) = f(y) = f(\xi) = (2\pi\sigma^2)^{-1/2} \exp[-\xi^2 / 2\sigma^2]$ .

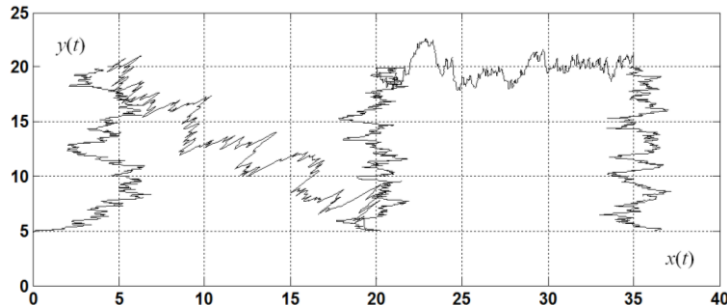


Рис. 4. Двумерный стохастический процесс с заданным профилем траектории:

$$u_T = U = 500; \mu_x = \mu_y = 0,4, b_x = b_y = 2$$

### Заключение

Рассмотрена методика формирования одномерных и двумерных СП с заданными свойствами траекторий. Эти свойства включают: прохождение траектории через заданные контрольные точки (участки), формирование процесса по заданной стационарной плотности, определение параметров СП исходя из заданной длины траектории и длительности ее прохождения. Результаты моделирования подтверждают применимость предложенной методики при разработке алгоритмов функционирования генераторов СП, формировании законов управления подвижными объектами с заданными свойствами траектории.

## FORMING AND SIMULATION OF STOCHASTIC PROCESSES WITH DESIRED PROPERTIES OF TRAJECTORIES

A.V. AUSIANNIKAU, V.M. KOZEL

### Abstract

The necessary theoretical knowledge for the creation and simulation of stochastic processes with desired properties of trajectories is shown. These properties include: passage of the trajectory through a set process milestones (areas), the formation of the dynamics of the process in view of a given stationary probability density, determination of process parameters on the basis of a predetermined length and duration of the trajectory.

*Keywords:* stochastic process, trajectory, formation, specified properties, stationary probability density.

### Список литературы

1. Казаков И.Е., Артемьев В.М., Бухалев В.А. Анализ систем случайной структуры. М., 1993.
2. Кузнецов Д.Ф. Стохастические дифференциальные уравнения: теория и практика численного решения. СПб, 2010.
3. Кловский Д.Д., Конторович В.Я., Широков С.М. Модели непрерывных каналов связи на основе стохастических дифференциальных уравнений / Под ред. Д.Д. Кловского. М., 1984.
4. Липцер Р.Ш., Ширяев А.Н. Статистика случайных процессов (нелинейная фильтрация и смежные вопросы). М., 1974.
5. Тихонов В.И., Мионов М.А. Марковские процессы. М., 1977.
6. Овсянников А.В. // Труды БГТУ. Сер. физ.-мат. наук и информ. Вып. X. 2002. С. 133–136.
7. Гихман И.И., Скороход А.В. Управляемые случайные процессы. Киев, 1977.
8. Крылов Н.В. Управляемые процессы диффузионного типа. М., 1977.
9. Дынкин Е.Б., Юшкевич А.А. Управляемые марковские процессы и их приложения. М., 1975.